



موقعیت یابی سه بعدی یک هدف ناشناخته با استفاده از دو حسگر نامتجانس

ولی کاووسی^۱, محمدجواد دهقانی^{۲,*۳} و رضا جاویدان^۴

^۱گروه مهندسی برق و الکترونیک، واحد مرودشت، دانشگاه آزاد اسلامی، مرودشت، ایران

^۲ دانشکده مهندسی برق و الکترونیک، دانشگاه صنعتی شیراز، ایران-^۳ مرکز منطقه‌ای اطلاع‌رسانی علوم و فناوری، شیراز، ایران

^۴ دانشکده مهندسی کامپیوتر و فناوری اطلاعات، دانشگاه صنعتی شیراز، شیراز، ایران

چکیده

در شبکه‌های حسگر غیرهمگن، برای موقعیت یابی هدف از چندین نوع گیرنده استفاده می‌شود و هر گیرنده می‌تواند کمیت متفاوتی از هدف را اندازه‌گیری کند. استفاده از چندین کمیت اندازه‌گیری شده از یک هدف باعث می‌شود که تخمین موقعیت آن با سادگی و دقت بیشتری انجام شود. در اینجا، موقعیت یابی هدف در یک فضای سه‌بعدی با استفاده از یک شبکه غیرهمگن شامل یک حسگر همه‌جهتی و یک حسگر برداری مورد نظر است. الگوریتم موجود برای چنین شبکه‌ای، به موقعیت نسبی هدف و حسگرهای وابسته بوده و در پنجاه درصد موارد نمی‌تواند جوابی برای فاصله هدف ارایه کند. در الگوریتم پیشنهادی در این مقاله برای به دست آوردن یک تخمین بدون ابهام از فاصله هدف در هندسه موردنظر، تنها از توانانهای اندازه‌گیری شده در دو حسگر استفاده می‌شود. در این راستا، ابتدا یک تحلیل تئوری از مسئله انجام گرفته و سپس به منظور یافتن فاصله هدف یک الگوریتم جستجوی ساده و مؤثر مبتنی بر روش ریشه‌یابی تصنیف پیشنهاد می‌شود. در الگوریتم ارایه شده، دست یابی به یک تخمین یکتا از فاصله هدف مستقل از موقعیت مکانی آن تضمین می‌شود. شبیه‌سازی‌های انجام شده، سرعت و دقت الگوریتم ارایه شده و همچنین مقاومت بودن آن در برابر تغییرات فاصله هدف و موقعیت‌های مختلف دو حسگر را اثبات می‌کند.

واژگان کلیدی: شبکه غیرهمگن، موقعیت یابی بدون ابهام، حسگر برداری، شدت سیگنال دریافتی، الگوریتم تصنیف.

Three Dimensional Localization of an Unknown Target Using Two Heterogeneous Sensors

Vali Kavoosi¹, Mohammad Javad Dehghani^{2,3*}& Reza Javidan⁴

¹Faculty of Electrical and Electronics Engineering, Marvdasht Branch, Islamic Azad University, Marvdasht, Iran

²Faculty of Electrical and Electronics Engineering, Shiraz University of Technology, Iran

³Regional Information Center for Science and Technology (RiCeST), Shiraz, Iran

⁴Faculty of Computer and Information Technology Engineering, Shiraz University of Technology, Shiraz, Iran

Abstract

Heterogeneous wireless sensor networks consist of some different types of sensor nodes deployed in a particular area. Different sensor types can measure different quantity of a source and using the combination of different measurement techniques, the minimum number of necessary sensors is reduced in localization problems. In this paper, we focus on the single source localization in a heterogeneous sensor network containing two types of passive anchor-nodes: Omni-directional and vector sensors. An omni-directional sensor can simply measure the received signal strength (RSS) without any additional hardware. In other side, an acoustic vector sensor (AVS) consists of a velocity-sensor triad and an optional acoustic pressure-sensor, all spatially collocated in a point-like geometry. The velocity-sensor triad has an intrinsic ability in

* Corresponding author

*نویسنده عهده‌دار مکاتبات



direction finding process. Moreover, despite its directivity, a velocity-sensor triad can isotropically measure the received signal strength and has a potential to be used in RSS-based ranging methods.

Employing a heterogeneous sensor-pair consisting of one vector and one omni-directional sensor, this study tries to obtain unambiguity estimation for the location of an unknown source in a three-dimensional (3D) space. Using a velocity-sensor triad as an AVS, it is possible to determine the direction of arrival (DOA) of the source without any restriction on the spectrum of the emitted signal. However, the range estimation is a challenging problem when the target is closer to the omnidirectional sensor than the vector sensor. The existence method proposed for such configuration suffers from a fundamental limitation, namely the localization coverage. Indeed, this algorithm cannot provide an estimate for the target range in 50 percent of target locations due to its dependency to the relative sensor-target geometry.

In general, our proposed method for the considered problem can be summarized as follows: Initially, we assume that the target's DOA is estimated using the velocity-sensor triad's data. Then, considering the estimated DOA and employing the RSS measured by two sensors, we propose a computationally efficient algorithm for uniquely estimation of the target range. To this end, the ratio of RSS measured by two sensors is defined and, then, shown that this power ratio can be expressed as a monotonic function of the target range. Finally, the bisection search method is proposed to find an estimate for the target range. Since the proposed algorithm is based on bisection search method, a solution for the range of the target independent of its location is guaranteed. Moreover, a set of future aspects and trends is identified that might be interesting for future research in this area. Having a low computational complexity, the proposed method can enhance the coverage area mostly two times of that explored by the existence method. The simulated data confirms the speed and accuracy of developed algorithm and shows its robustness against various target ranges and different sensor spacing.

Keywords: Heterogeneous network, Unambiguous localization, Vector sensor, RSS, Bisection algorithm.

زاویه دریافت سیگنال به آرایه‌ای از گیرندها احتیاج است. در این راستا، استفاده از حسگرهای برداری می‌تواند در تخمین زوایای دریافتی از هدف بسیار راه‌گشا باشد. این حسگرهای که ترکیبی از حسگرهای همجهته و سرعت هستند، به طور ذاتی جهت دار بوده و به کمک آنها می‌توان تخمینی از زوایای افقی و عمودی سیگنال ورودی را به دست آورد. اینکار بدون هیچ محدودیتی در مشخصات زمان-فرکانس سیگنال ارسالی از هدف انجام می‌گیرد. با استفاده از این حسگرهای می‌توان جهت ورود سیگنال را مستقل از فرکانس مرکزی، پهنای باند یا طیف فرکانسی سیگنال مشخص کرد [3]. در سالیان گذشته الگوریتم‌های متنوعی برای تخمین زاویه دریافت سیگنال با استفاده از این حسگرهای ارایه شده است [4-7]. از دیگر مزایای استفاده از این نوع حسگرهای این است که برخلاف جهت‌داربودن، می‌توانند شدت سیگنال دریافتی از هدف را به صورت همسان^۵ اندازه‌گیری کنند؛ درنتیجه می‌توان از آنها در روش‌های مبتنی بر RSS نیز استفاده کرد. در مقابل، در شبکه‌های غیر همگن از چندین نوع گیرنده استفاده شده و هر گیرنده می‌تواند کمیت متفاوتی از هدف را اندازه‌گیری کند. استفاده از چندین کمیت اندازه‌گیری شده از یک هدف باعث می‌شود که تخمین موقعیت آن با سادگی و دقت بیشتری انجام شود [8]؛ همچنین، نشان داده شده است که استفاده از چند نوع اندازه‌گیری در یک شبکه توزیع شده، حد CRLB⁶ در تخمین

⁵ Isotropic

⁶ Cramer Rao Lower Bound

۱- مقدمه

در سال‌های اخیر شبکه‌های حسگر بی‌سیم به‌طور گستردۀ در علوم مختلف و به منظورهای متفاوتی از جمله موقعیت‌یابی مورد استفاده قرار گرفته‌اند [1]. یک شبکه حسگر بی‌سیم شامل گروهی از حسگرهای است. که در یک منطقه توزیع شده و به منظور حل یک مسئله پردازش سیگنال به صورت بی‌سیم با یکدیگر مرتبط شده و با هم مشارکت دارند. این شبکه‌ها می‌توانند به صورت همگن یا غیرهمگن باشند. در شبکه‌های همگن، گیرندهای توزیع شده در محیط، از یک نوع بوده و قابلیت اندازه‌گیری یک کمیت را دارند. کمیت اندازه‌گیری شده در این شبکه‌ها می‌تواند فاصله هدف یا زاویه سیگنال دریافتی^۱ (AOA) از آن باشد. در روش‌های وابسته به فاصله، کمیت‌هایی مانند زمان دریافت سیگنال^۲ (TOA)، اختلاف زمانی در دریافت سیگنال^۳ (TDOA) یا شدت سیگنال دریافتی^۴ (RSS) اندازه‌گیری می‌شود. در این روش‌ها، کمینه تعداد حسگر لازم برای تعیین بدون ابهام موقعیت یک هدف در یک محیط سه‌بعدی، چهار حسگر است که همگی آنها نباید در یک صفحه قرار داشته باشند [2].

در روش‌های مبتنی بر AOA برای موقعیت‌یابی هدف در یک محیط سه‌بعدی باید راستای سیگنال دریافتی از هدف در بیش از دو نقطه اندازه‌گیری شود. برای اندازه‌گیری

¹ Angle of Arrival

² Time of Arrival

³ Time Difference of Arrival

⁴ Received Signal Strength

دیگری از نوع برداری است. نوآوری انجام شده در این مقاله به شرح زیر است:

- (۱) موقعیت یابی سه بعدی هدف با استفاده از ترکیب کمیت های AOA و RSS در یک شبکه غیرهمگن با کمینه سخت افزار ممکن. این شبکه کمینه سخت افزار مورد نیاز یک شبکه غیرهمگن را دارد که از ترکیب کمیت های AOA و RSS تشکیل شده است. درواقع با استفاده از قابلیت جهت دار بودن حسگر برداری و ترکیب روش های AOA و RSS کمینه تعداد حسگر لازم برای موقعیت یابی هدف نسبت به شبکه های همگنی که قادر به اندازه گیری یکی از این کمیت ها هستند، کاهش داده شده است. همچنین، ترکیب هیدروفون های معمولی و برداری می تواند ضعف های موجود در روش های موقعیت یابی مبتنی بر پارامتر های RSS و AOA را برطرف کند. در ادامه از این ساختار با عنوان SVSO^۱ نام برده می شود.
- (۲) ارایه یک الگوریتم ساده برای تخمین موقعیت یک هدف، بدون وابستگی به موقعیت آن در فضای سه بعدی. در الگوریتم پیشنهادی برای به دست آوردن یک تخمین بدون ابهام از فاصله هدف در هندسه SVSO، تنها از RSS اندازه گیری شده در دو حسگر استفاده می شود. ابتدا یک تحلیل تئوری از مسئله انجام گرفته و سپس یک روش جستجو جو بر اساس یک الگوریتم ریشه یابی مشهور و ساده ریاضی پیشنهاد می شود. در روش پیشنهادی، دست یابی به یک تخمین یکتا از فاصله هدف مستقل از موقعیت مکانی آن تضمین می شود.

۲- موقعیت یابی هدف مبتنی بر ترکیب کمیت های RSS و AOA

اندازه گیری شدت سیگنال دریافتی که در روش های مبتنی بر RSS انجام می گیرد از نظر میزان مصرف انرژی، پهنای باند مورد نیاز و سادگی در پیاده سازی بر دیگر روش ها ارجحیت دارد. هرچند کمینه تعداد حسگرهای مورد نیاز در این روش برای موقعیت یابی یک هدف در فضای سه بعدی چهار حسگر می باشد، اما با استفاده از حسگرهای برداری می توان تعداد کمینه حسگرهای را کاهش داد. تاکنون مقالات زیادی از ترکیب کمیت های AOA و RSS برای موقعیت یابی یک هدف در فضای دو یا سه بعدی استفاده کرده اند، اما در بیشتر آنها، حسگرهای مورد استفاده از یک جنس هستند. به عبارت دیگر، هر چند این مقالات از ترکیب دو نوع کمیت

^۱ Single Vector Single Omni-directional

موقعیت هدف را کاهش می دهد [۹, ۱۰]. در [۱۱] نشان داده شده است در حالتی که شبکه غیر همگن تنها شامل یک حسگر فاصله و یک حسگر زاویه باشد و فاصله حسگر فاصله از هدف، کوچکتر از فاصله این حسگر از حسگر زاویه باشد، نمی توان موقعیت هدف را به طور یکتا مشخص کرد. بنابراین، یک ناحیه ابهام در موقعیت یابی هدف در این هندسه وجود خواهد داشت. ناحیه ابهام را می توان با یک کره به مرکز حسگر فاصله و شعاعی معادل با فاصله دو حسگر ترسیم کرد. همچنین، برای داشتن یک تخمین بدون ابهام برای موقعیت سه بعدی هدف، لازم است که دست کم سه حسگر غیرهمگن (دو حسگر زاویه و یک حسگر فاصله یا دو حسگر فاصله و یک حسگر زاویه) مورد استفاده قرار گیرند؛ اما در [۱۱] تنها چیدمان بهینه حسگرها در شبکه های غیر همگن مورد نظر بوده و هیچ الگوریتمی برای موقعیت یابی هدف ارایه نشده است. از طرف دیگر، در بیشتر مقالات ارایه شده در این حوزه، استفاده از کمینه تعداد حسگرها در موقعیت یابی هدف مورد توجه قرار نداشته و الگوریتم های پیشنهادی بر اساس تعداد حسگرهای بیشتر بنا شده اند. نکته دیگری که باید به آن اشاره کرد این است که بیشتر الگوریتم های موجود در موقعیت یابی هدف، الگوریتم های پیچیده ای هستند که نیاز به محاسبات سنگین و میزان حافظه زیادی داشته و نمی توان آنها را به راحتی در کاربردهای عملی مورد استفاده قرار داد؛ بنابراین، وجود الگوریتم ساده ای که بتواند با استفاده از کمینه تعداد حسگرها، یک تخمین دقیق و یکتا از موقعیت هدف در فضای سه بعدی ارایه کند، یکی از الزامات اساسی در بسیاری از کاربردهای عملی است.

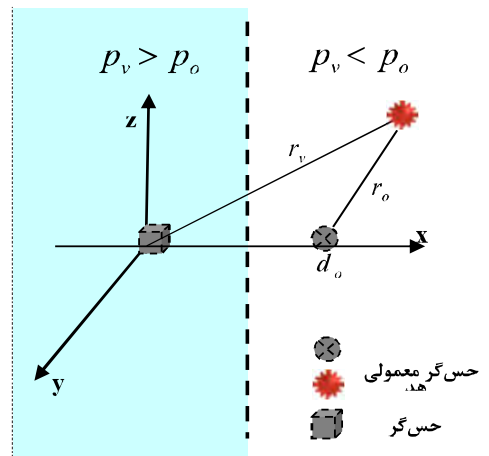
در [۳] روشی برای تعیین موقعیت یک هدف در فضای سه بعدی با استفاده از یک حسگر برداری و یک حسگر معمولی ارایه شده است؛ اما در صورتی که فاصله هدف تا حسگر برداری بزرگتر از نصف فاصله بین حسگرها باشد، الگوریتم ارایه شده نمی تواند هدف را موقعیت یابی نماید. در شکل (۱) ناحیه جواب برای این الگوریتم به صورت یک ناحیه رنگی نمایش داده شده است. اگر مکان هدف بطور یکنواخت در محیط در نظر گرفته شود، این روش به طور متوسط برای پنجاه درصد موقعیت هایی که یک هدف می تواند در فضای سه بعدی داشته باشد، جوابی نخواهد داشت.

هدف اصلی این مقاله، موقعیت یابی یک هدف در یک فضای سه بعدی با استفاده از یک شبکه غیر همگن شامل دو حسگر است که یکی به صورت همه جهته و معمولی بوده و

در [13] ارایه شده است. این الگوریتم‌ها با ترکیب کمیت‌های AOA و RSS می‌توانند یک فرستنده را در فضای دوبعدی تعیین موقعیت کنند. وجود دستکم دو حس‌گر از هر جنس برای اندازه‌گیری کمیت‌های زاویه یا فاصله از ملزمات این روش‌ها است. در [14] الگوریتمی برای تعیین موقعیت یک کاربر در یک شبکه سیار با استفاده از ترکیب اطلاعات زاویه و فاصله گزارش شده است. در این مقاله، از یک ایستگاه پایه که توانایی اندازه‌گیری زاویه و فاصله را دارد، به همراه اطلاعات RSS اندازه‌گیری شده در دو نقطه دیگر در موقعیت‌یابی هدف استفاده شده است. اما این الگوریتم برای موقعیت‌یابی در فضای دوبعدی و با فرض معلوم بودن توان ارسالی فرستنده به دست آمده است. همچنین، بهمنظور موقعیت‌یابی یک کاربر در شبکه سیار نسل چهار، در [15] از RSS اطلاعات زاویه دو ایستگاه پایه و اطلاعات اندازه‌گیری شده در چهار موقعیت معلوم استفاده شده است. هر چند که الگوریتم پیشنهادی با فرض نامشخص بودن توان ارسالی طراحی شده است، اما باز هم یک فضای دوبعدی برای عملکرد الگوریتم در نظر گرفته شده است.

در [3] روشی برای موقعیت‌یابی سه‌بعدی هدف با استفاده از هندسه SVSO ارائه شده است. در این روش، ابتدا زوایای افقی و عمودی هدف به کمک سیگنال‌های دریافت شده در حس‌گر برداری تعیین شده و در ادامه با توجه به نسبت انرژی دریافت شده در دو حس‌گر، فاصله هدف نیز تخمین زده می‌شود. محدودیت الگوریتم ارایه شده در این مقاله این است که تا زمانی می‌توان یک هدف را در محیط سه‌بعدی تعیین موقعیت کرد که هدف به حس‌گر برداری نزدیکتر باشد. بهمنظور تعیین موقعیت بدون ابهام هدف در فضای سه‌بعدی، در [16] استفاده از یک آرایه خطی شامل دو حس‌گر معمولی و یک حس‌گر برداری پیشنهاد شده است. در این هندسه، حس‌گر برداری نسبت به کمینه یکی از حس‌گرهای معمولی دارای فاصله کمتری از هدف بوده و محاسبه فاصله هدف مستقل از محل قرارگرفتن آن در فضای سه‌بعدی امکان‌پذیر می‌شود. در هندسه پیشنهادشده در این مقاله، ضعف موجود در الگوریتم ارایه شده در [3] با استفاده از یک حس‌گر اضافی رفع شده است؛ بهطوری که با استفاده از هندسه معرفی شده در [16] و با به کارگیری الگوریتم موجود در [3] همواره می‌توان جواب یکتاوی برای موقعیت یک هدف در فضای سه‌بعدی به دست آورد. همچنین، در شرایطی که حس‌گر برداری نسبت به هر دو حس‌گر معمولی دارای فاصله کمتری تا هدف است، در

اندازه‌گیری شده در موقعیت‌یابی هدف سود می‌برند، اما این کمیت‌ها از یک شبکه همگن استخراج شده‌اند. به عنوان نمونه، در [12] برای مکان‌یابی هدف از اندازه‌گیری هر دو کمیت RSS و AOA در چند حس‌گر توزیع شده سود برده شده است، اما با این فرض که در کلیه حس‌گرها موقعیت سه‌بعدی هدف (هم زوایای افقی و عمودی و هم فاصله) در دسترس هستند. واضح است که اندازه‌گیری زاویه هدف در همه حس‌گرها تنها با استفاده از آرایه‌ای از حس‌گرها مثل درنتیجه، ساختار غیر همگن پیشنهادی در این مقاله با هندسه همگن استفاده شده در [12] متفاوت و البته ساده‌تر و ارزان‌تر است؛ از طرف دیگر، برای داشتن تخمینی از فاصله هدف به کمک RSS اندازه‌گیری شده در یک نقطه لازم است که میزان توان ارسالی هدف معلوم باشد. بر خلاف آنچه که در [12] فرض شده، در اینجا توان ارسالی هدف که از پارامترهای مهم در روش‌های مبتنی بر RSS است، نامعلوم فرض شده است. البته سادگی الگوریتم پیشنهادی را در مقاله حاضر در مقایسه با روش‌های مبتنی بر بهینه‌سازی که در [12] بهمنظور بهبود عملکرد موقعیت‌یابی ارایه شده است، نباید از یاد برد.



شکل-۱: ناحیه پاسخ برای الگوریتم ارایه شده در [3]
(Figure-1): The region in which [3] has a solution

تعداد مقالات محدودی وجود دارد که در آنها از یک شبکه غیرهمگن برای موقعیت‌یابی هدف استفاده شده است؛ به عنوان مثال، دو الگوریتم موقعیت‌یابی بر اساس بیشینه تابع راستنمایی (ML¹) و کمینه مربعات خطی (LLS²) با استفاده از اطلاعات اندازه‌گیری شده در یک شبکه غیرهمگن

¹ Maximum Likelihood

² Linear Least Square

روش ارایه شده در [16] تخمین زده شده و مساله مورد نظر به دست آوردن تخمینی از فاصله هدف (2) است. در صورتی که یک محیط آزاد و همگن داشته باشیم و هدف نیز در میدان نزدیک نسبت به حسگرها قرار داشته باشد، می توان توان انتشار ایافته از هدف را در قالب یک مدل کاوشی که با عکس فاصله حسگر تا هدف مناسب است بیان کرد [17]. با توجه به مدل در نظر گرفته شده برای محیط، توان دریافت شده در هر حسگر (p_r)، از رابطه زیر به دست می آید [17]:

$$p_r = \frac{p_t}{kr^n} \quad (2)$$

در این رابطه، p_t توان ارسالی از هدف، k ضریب ثابت وابسته به محیط، n درجه تضعیف نسبت به فاصله و r فاصله حسگر تا هدف است. هدف مسأله یافتن تخمین یکتاپی از فاصله هدف مستقل از موقعیت نسبی آن در فضای سه بعدی است. در این مسأله فرض می شود که موقعیت زاویه ای هدف مشخص بوده و تنها اطلاعات موجود جهت یافتن فاصله هدف، RSS اندازه گیری شده در هندسه SVSO است.

۴- الگوریتم پیشنهادی

به منظور یافتن تخمینی از موقعیت سه بعدی هدف، ابتدا با استفاده از اطلاعات حسگر برداری زوایای افقی و عمودی هدف تخمین زده می شود. در ادامه با توجه به توان های دریافتی از هدف در دو حسگر، تخمینی از فاصله هدف نیز به دست می آید. در این مقاله فرض می شود که موقعیت زاویه ای هدف با استفاده از روش های موجود جهت یابی که در مقالات زیادی مورد بررسی قرار گرفته به انجام رسیده و تنها فاصله هدف مورد نظر است. در الگوریتم پیشنهادی، برای تخمین فاصله هدف از RSS اندازه گیری شده در حسگرها استفاده می شود. ابتدا به منظور حذف توان ارسالی از هدف که در اینجا نامعلوم فرض می شود، توان حسگرها را به یکدیگر تقسیم نموده و کمیت جدید α تعریف می شود:

$$\alpha = \left(\frac{\hat{p}_v}{\hat{p}_o} \right)^{\frac{2}{n}} \quad (3)$$

با جایگذاری توان های اندازه گیری شده حسگرها از رابطه (2) در رابطه (3)، رابطه (4) بدست می آید:

$$\alpha \cong \left(\frac{r_o}{r_v} \right)^2 \quad (4)$$

در صورتی که توان نوفه نسبت به توان سیگنال کوچک باشد، تقریب بالا به تساوی تبدیل می شود. در رابطه بالا، تنها

[16] روشهای ارایه شده است که به کمک آن می توان با انتخاب حسگر معمولی که کمترین خطای در تخمین فاصله ایجاد می کند، دقت موقعیت یابی را افزایش داد.

در این مقاله روشهای ارایه می شود که می تواند نقص موجود در الگوریتم [3] را بدون افزودن هیچ حسگری به ساختار SVSO ببرطرف کند. تاکنون در مقالات ارایه شده در این حوزه، برای شرایطی که هدف به حسگر معمولی نزدیکتر باشد، هیچ الگوریتم تخمین فاصله ای در هندسه SVSO ارایه نشده و الگوریتم حاضر در این مقاله برای نخستین بار پیشنهاد شده است.

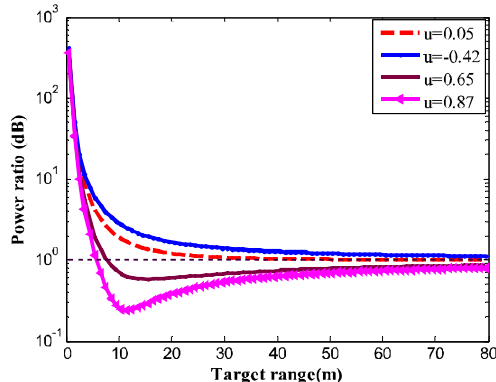
۳- مدل سیستم

در حالت کلی، یک حسگر برداری در مبدأ مختصات $(x_v, y_v, z_v) = (0, 0, 0)$ و یک حسگر معمولی در مختصات معلوم $(u_o, v_o, w_o) = d_o(u_o, v_o, w_o)$ و یک هدف در میدان نزدیک با موقعیت نامعلوم $(x_t, y_t, z_t) = r_t(u_t, v_t, w_t)$ در محیط فرض می شود. بردارهای (u_t, v_t, w_t) و (u_o, v_o, w_o) بردارهای یکهای هستند که به ترتیب راستای هدف و راستای حسگر معمولی را در فضای سه بعدی نشان می دهند. همچنین زوایای افقی و عمودی هدف به ترتیب با ϕ و ψ نشان داده می شوند. فاصله حسگر معمولی تا مبدأ d_o بوده و فاصله حسگرهای برداری و معمولی از هدف به ترتیب با r_v و r_o نشان داده می شود. سیگنال ارسالی از هدف یک سیگنال باند باریک با توان p_t ، فرکانس ω و فاز اولیه θ_t در نظر گرفته می شود؛ به طوری که فرکانس، توان ارسالی و فاز اولیه سیگنال نامعلوم فرض می شوند. در شکل (1)، هندسه مربوط به ساختار SVSO با این شرط که حسگر معمولی در راستای محور x قرار داشته باشد، نمایش داده است. توان واقعی دریافت شده از سیگنال تشعشع یافته از هدف در حسگرهای برداری و معمولی به ترتیب با p_v و p_o و کل توان اندازه گیری شده در این دو حسگر به ترتیب با \hat{p}_v و \hat{p}_o نشان داده می شود. کل توان اندازه گیری شده در هر حسگر برابر است با مجموع توان دریافتی از هدف و توان نوفه. بنابراین رابطه زیر برقرار خواهد بود:

$$\hat{p}_o = p_o + \sigma_o^2, \quad \hat{p}_v = p_v + \sigma_v^2 \quad (1)$$

در این رابطه σ_v^2 و σ_o^2 به ترتیب واریانس نوفه در حسگر برداری و حسگر معمولی بوده و نامعلوم هستند. فرض می شود که زوایای افقی و عمودی هدف با استفاده از

ثابت برای نسبت توان‌های دریافتی در حسگرهای دو پاسخ برای فاصله هدف به دست می‌آید. بنابراین، تخمین فاصله در این ناحیه می‌تواند با ابهام همراه باشد. در اینجا فرض می‌شود که هدف در ناحیه ابهام قرار نداشته باشد؛ درنتیجه، می‌توان در ناحیه $1 < \alpha < \alpha'$ که هدف به حسگر معمولی نزدیکتر است، تابع α را یک تابع یکنواخت صعودی دانست. درنهایت می‌توان نتیجه‌گیری کرد که در صورت عدم قرارگرفتن هدف در ناحیه ابهام، تغییرات α در هر دو ناحیه $p_v > p_o$ و $p_v < p_o$ به صورت یکنواخت خواهد بود. بنابراین، می‌توان از روش‌های مؤثر جستجو برای محاسبه فاصله هدف استفاده کرد و تخمین یکتاوی از فاصله هدف به دست آورده. بخش‌های مختلف الگوریتم پیشنهادی در شکل (۳) آورده شده است.



(شکل-۲): تغییرات نسبت توان‌های دریافتی بر حسب فاصله هدف

(Figure-2): The variation of received power ratio with respect to the target range

در این الگوریتم از روش ریشه‌یابی تصنیف^۱ [18] استفاده شده است. این روش یک الگوریتم ساده و مقاوم در ریشه‌یابی توابع است که رسیدن به یک جواب برای ریشه معادله مورد نظر را تضمین می‌کند. جستجو برای یافتن تخمینی از فاصله هدف با شرط تساوی پارامترهای α و β انجام می‌گیرد که β با رابطه (۷) تعریف می‌شود:

$$\beta = \left(\frac{r_o}{r_v} \right)^2 \quad (7)$$

مقایسه مقادیر α و β در هر مرحله، میزان خطای مشخص کرده و در صورت بیشتر بودن خطای از یک حد معین، الگوریتم دوباره تکرار می‌شود. فضای مورد جستجو جهت محاسبه فاصله هدف در الگوریتم تصنیف برابر است با

به دانستن ضریب کاهش توان نسبت به فاصله احتیاج بوده و نیازی به دانستن توان ارسالی هدف و ضریب k نیست. با توجه به رابطه (۴)، در شرایطی که هدف در فاصله یکسانی از هر دو حسگر قرار داشته باشد، $r_o = r_v$ ، مقدار α برابر با یک و در صورتی که هدف به حسگر برداری نزدیک‌تر باشد، $r_o < r_v$ ، مقدار α کوچک‌تر از یک است. در غیر این صورت، α بزرگ‌تر از یک خواهد بود. بدین ترتیب می‌توان کل فضای سه‌بعدی را توسط صفحه فرضی که بر خط واصل بین دو حسگر عمود است به دو قسمت مساوی تقسیم کرد.

با توجه به موقعیت حسگرهای هدف در فضای سه‌بعدی، رابطه زیر بین فاصله‌ها وجود دارد:

$$r_o^2 = r_v^2 - 2r_v d_o (u_i u_0 + v_i v_0 + w_i w_0) + d_o^2 \quad (5)$$

پس از جایگذاری r_o در رابطه (۴) داریم:

$$\alpha = 1 - 2\left(\frac{d_o}{r_v}\right)u + \left(\frac{d_o}{r_v}\right)^2 \quad (6)$$

که $u = (u_i u_0 + v_i v_0 + w_i w_0)$ است.

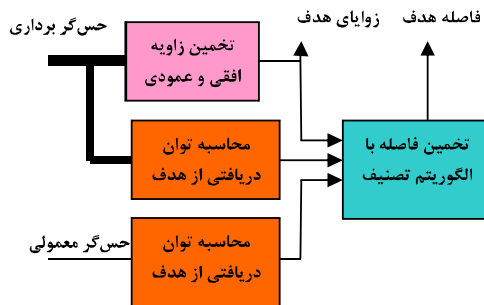
با توجه به معلوم بودن راستای هدف و موقعیت حسگر معمولی، رابطه بالا تنها تابعی از فاصله هدف است. بنابراین، می‌توان با درنظرداشتن نسبت توان‌های اندازه‌گیری شده در حسگرهای تخمینی برای فاصله هدف به دست آورده. این مسئله در [3] انجام گرفته و بر اساس آن یک رابطه بسته برای r_v محاسبه شده اما این رابطه تنها زمانی دارای پاسخ حقیقی است که $\alpha \geq 1$ باشد و برای $\alpha < 1$ هیچ جوابی برای فاصله هدف به دست نمی‌آید. در این مقاله برای به دست آوردن تخمینی از فاصله هدف در تمامی حالاتی که امکان به دست آوردن این تخمین وجود دارد، یک روش جستجوی ساده و مؤثر پیشنهاد می‌شود. برای این منظور ابتدا تغییرات تابع α بر حسب فاصله هدف از مبدأ مختصات مورد بررسی قرار می‌گیرد. شکل (۲) این تابع را به ازای چهار جهت مختلف برای هدف و فاصله ده متري بین حسگرها نشان می‌دهد. برای محاسبه تخمینی از فاصله هدف باید نقطه برخورد خط مساوی با یک مقدار ثابت را با این منحنی‌ها مشخص کرد. در ناحیه $p_v \geq p_o$ یا $\alpha \geq 1$ که هدف به حسگر برداری نزدیک‌تر است، تابع α یک تابع یکنواخت نزولی است. برخلاف این ناحیه، در ناحیه $p_o < p_v < \alpha$ است، به ازای یک مقدار

^۱ Bisection

اگر $r_v^{\max} = r_v^{\min} = r_v$ در اینصورت $\beta = \alpha$
درنهایت، فاصله تخمین زده شده برای هدف از رابطه (۹) به دست می آید.

$$r_v = \frac{r_v^{\min} + r_v^{\max}}{2} \quad (9)$$

تخمین به دست آمده برای فاصله هدف، مستقل از موقعیت نسبی آن در شبکه مورد نظر بوده و به همراه زاویه تخمین زده شده توسط حسگر برداری، می تواند به عنوان پاسخ یکتاوی برای موقعیت سه بعدی هدف در فضای سه بعدی در نظر گرفته شود.



(شکل ۴): تعیین موقعیت سه بعدی هدف در هندسه پیشنهادی
(Figure-4): 3D source localization by the proposed geometry

شکل (۴) نمای کاملی از موقعیت یابی سه بعدی هدف با استفاده از اندازه گیری های انجام گرفته در دو حسگر غیر هم جنس را نشان می دهد.

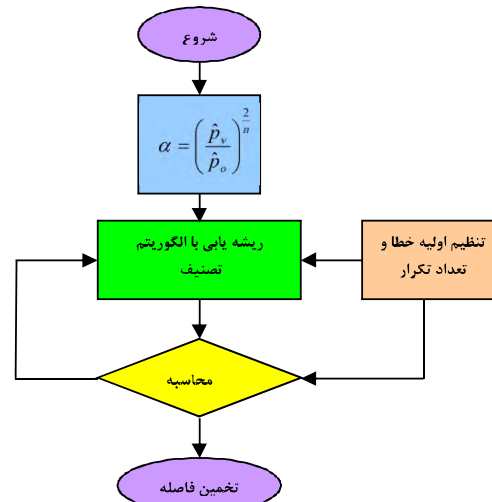
۵- شبیه سازی

به منظور بررسی الگوریتم پیشنهادی، چند مثال مختلف با استفاده از نرم افزار MATLAB شبیه سازی شده و خلاصه ای از نتایج در این بخش ارایه می شود. در این شبیه سازی ها یک حسگر برداری در مبدأ مختصات و یک حسگر معمولی در امتداد محور x در فاصله ای مشخص از حسگر برداری در نظر گرفته شده است. در شکل (۴) بایان ایجاد شده در تخمین فاصله برای چندین موقعیت متفاوت از هدف ترسیم شده است. در حالت نخست فرض می شود که حسگر معمولی در فاصله ۲۵ متری از مبدأ قرار داشته، موقعیت زاویه ای هدف در مختصات قطبی $(\phi, \theta) = (32^\circ, 68^\circ)$ ثابت بوده و فاصله آن در پنج مقدار مختلف $10, 40, 50, 60$ و 70 متری تغییر کرده است. هدف واقع در فاصله ده متری، به حسگر برداری نزدیکتر بوده و فاصله آن با خطای ناچیزی توسط الگوریتم پیشنهادی تخمین زده شده است. مختصات چهار هدف دیگر به گونه ای است که همه آنها به حسگر معمولی نزدیکتر

$[0, R_{\max}]$ ، که در شروع الگوریتم در محدوده $[r_v^{\min}, r_v^{\max}]$ تنظیم می شود که R_{\max} بیشینه فاصله قابل اندازه گیری حسگرها است. در هر بار اجرای الگوریتم، محدوده جستجو برای یافتن تخمینی از فاصله هدف کوچک تر شده و تا زمانی که تعداد دفعات تکرار کمتر از مقدار تنظیم شده اولیه شود یا این که مقدار خطای تخمین بزرگ تر از مقدار مورد نظر باشد، الگوریتم تکرار می شود.

مراحل جستجو برای یافتن پاسخی برای فاصله هدف با استفاده از الگوریتم تصنیف در جدول (۱) با نام الگوریتم (۱) درج شده است. پس از هر اجراء، خطای تخمین از رابطه (۸) محاسبه می شود.

$$error = r_v^{\max} - r_v^{\min} \quad (8)$$



(شکل ۳): نمودار گردشی الگوریتم پیشنهادی در تخمین فاصله
(Figure-3): Flowchart of the proposed range estimator

جدول-۱: تخمین فاصله مبتنی بر الگوریتم تصنیف

(Table-1): Range estimation based on Bisection method

الگوریتم ۱: جستجو برای یافتن تخمینی از فاصله هدف

$$r_v^{\min} = \frac{r_v^{\min} + r_v^{\max}}{2} \quad \text{محاسبه}$$

محاسبه r_v^{\max} از رابطه (۵)

$$\text{محاسبه } \beta = \left(\frac{r_o}{r_v}\right)^2 \quad \text{محاسبه}$$

در صورتی که $\alpha \geq 1$

اگر $\alpha > \beta$ در اینصورت $r_v^{\min} = r_v$

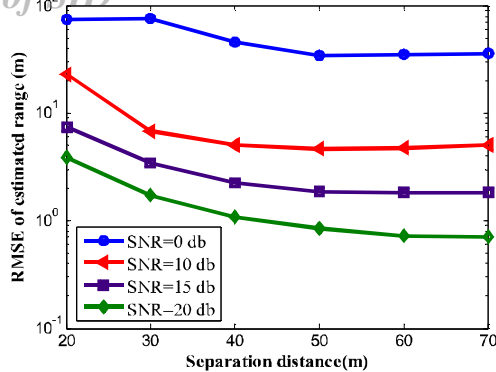
اگر $\beta > \alpha$ در اینصورت $r_v^{\max} = r_v$

اگر $\alpha = \beta$ در اینصورت $r_v^{\max} = r_v^{\min} = r_v$

در صورتی که $\alpha < 1$

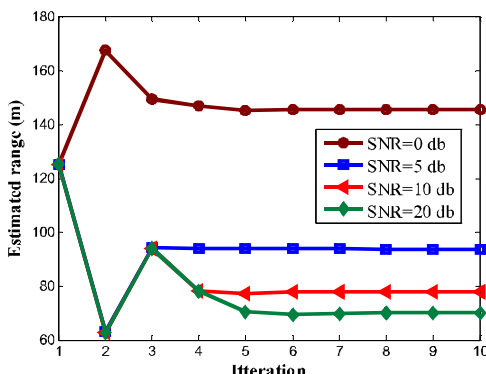
اگر $\alpha > \beta$ در اینصورت $r_v^{\max} = r_v$

اگر $\beta < \alpha$ در اینصورت $r_v^{\min} = r_v$



(شکل-۶): اثر فاصله بین حسگرها در تخمین فاصله هدف.
 (Figure-6): The effect of sensor separation on the range estimation.

شکل (۶) میزان هم‌گرایی الگوریتم پیشنهادی را در تکرارهای مختلف نشان می‌دهد. در این شبیه‌سازی، مختصات هدف $(70,32^{\circ},68^{\circ})$ و فاصله بین حس‌گرها ۲۵ متر فرض شده است. همان‌گونه که ملاحظه می‌شود، در SNRهای مختلف، الگوریتم پیشنهادی با سرعت قابل قبولی به مقدار نهایی همگرا شده و در کمتر از ده تکرار، تخمینی از فاصله هدف به دست آمده است.



(Figure-7): Speed convergence of Bisection algorithm

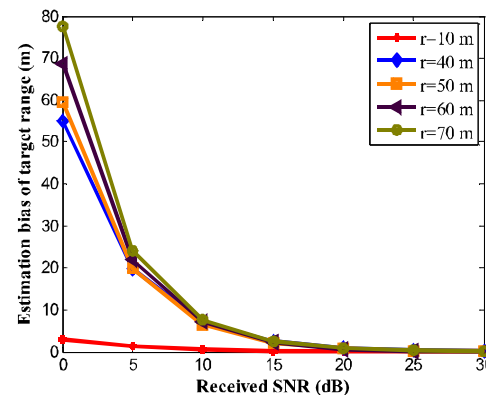
ارایه یک موقعیت یکتا از مکان هدف در فضای سه بعدی با الگوریتم پیشنهادی، مزیت ممتازی است که در الگوریتم های موجود برای چنین شبکه غیر همگنی دیده نمی شود. با توجه به اینکه الگوریتم [3] دارای محدودیت اساسی در مکان یابی هدف است، هدفی در موقعیت شکل $(40,130^{\circ}, 24^{\circ})$ در نظر گرفته می شود. در مقایسه ای بین الگوریتم پیشنهادی و الگوریتم [3] با علاوه بر این، حد² CRB که پایین ترین حد ممکن برای

¹ Root Mean Square Error

² Crammer-Rao Bound

هستند. هر چند که الگوریتم‌های موجود در مقالات نمی‌توانند تخمینی برای فاصله این اهداف به دست آورند، اما الگوریتم پیشنهادی تخمین‌های بهنسبه دقیقی برای فاصله این اهداف را ارایه کرده است. برای مقادیر SNR بزرگ‌تر از ۲۰dB، تخمین‌های به دست آمده برای فاصله هدف دقیق بسیار خوبی دارند.

در مقایسه با هدف واقع در فاصله ده متری، تخمین‌های بهدست‌آمده برای چهار هدف دیگر از دقت پایین‌تری برخوردار است. علت این امر، موقعیت نسبی متفاوت اهداف در شبکه حس‌گر در نظر گرفته شده است. موقعیت نسبی هدف و حس‌گر تأثیر بسیار زیادی در تعیین موقعیت آن خواهد داشت. برای هندسه در نظر گرفته شده در این مقاله، هر چه که هدف به حس‌گر برداری نزدیک‌تر باشد، تعیین موقعیت آن با دقت بیشتری انجام خواهد شد. بهترین حالت زمانی رخ می‌دهد که هدف و دو حس‌گر، همگی در امتداد یک خط راست قرار داشته باشند [11].



(شکل-۵): بیاس در تخمین فاصله هدف در موقعیت‌های متفاوت.

(Figure-5): The bias of range estimation for different target locations.

در حالت دیگر، موقعیت هدف ثابت بوده و فاصله بین حس‌گرها متغیر فرض می‌شود. تأثیر فاصله بین حس‌گرها در تخمین فاصله یک هدف با مختصات قطبی (r_i, ϕ_i, ψ_i) برای چهار SNR مختلف در شکل (۵) نشان داده شده است. چنان‌که دیده می‌شود، در فواصل کم بین حس‌گرها، تخمین فاصله با دقت پایین‌تری صورت می‌گیرد؛ اما باز هم به‌ازای موقعیت‌های نسبی متفاوت حس‌گرها و هدف، الگوریتم پیشنهادی می‌تواند برای تخمین فاصله مورد استفاده قرار گیرد.

بنابراین، الگوریتم پیشنهادی نه تنها بهازای موقعیت‌های نسبی متفاوت هدف دارای جواب خواهد بود، بلکه با سرعت و دقت قابل قبولی می‌تواند موقعیت هدف را در شبکه حسگر مورد نظر مشخص کند.

۶- بحث و ارزیابی

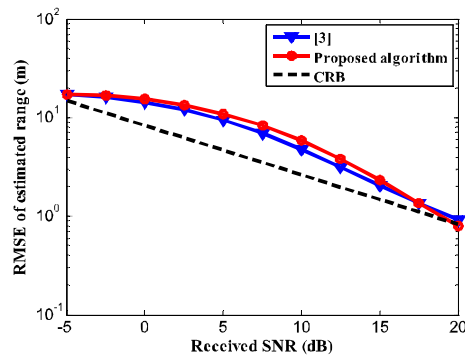
الگوریتم پیشنهادشده برای مسأله موقعیت‌پایی با استفاده از یک حسگر برداری و یک حسگر معمولی، الگوریتم ساده‌ای است که می‌تواند همواره یک تخمین یکتا از موقعیت هدف را صرف نظر از فاصله آن تا حسگرهای بهدست آورده. الگوریتمی که در [3] برای چنین ساختاری طراحی شده است، تنها در شرایط خاصی می‌تواند موقعیت هدف را تشخیص دهد؛ اما مزیت مهم الگوریتم پیشنهادشده در این مقاله این است که این الگوریتم می‌تواند موقعیت هدف را مستقل از محل قرارگرفتن آن در فضای سه‌بعدی تخمین بزند. همان‌گونه که در شکل (۱۰) نشان داده شده است، تا زمانی که هدف در ناحیه ابهام کروی شکل (که محدودیت ذاتی استفاده از ساختار SVSO است) قرار نداشته باشد، الگوریتم پیشنهادی می‌تواند عمل موقعیت‌پایی را انجام دهد. بهدلیل قابلیت حسگر برداری در اندازه‌گیری توان بهصورت همه‌جهته، ناحیه ابهام مربوط به ساختار SVSO حتی از آنچه که در [11] بیان شده هم کوچکتر است.

روش ارایه‌شده برای تخمین فاصله یک هدف با استفاده از کمینه تعداد حسگر غیرهم‌جنس، درواقع پاسخی است برای مسأله بهینه‌سازی زیر:

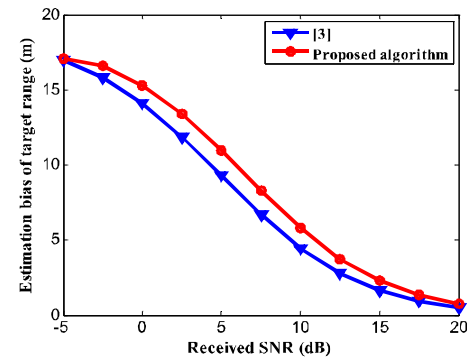
$$\hat{r}_v = \arg \min_{r_v} \left| \left(\frac{\hat{p}_v}{\hat{p}_o} \right)^{\frac{2}{n}} - \left(\frac{r_o}{r_v} \right)^2 \right| \quad (10)$$

برای بهدست‌آوردن جواب این مسأله می‌توان از روش‌های عددی کمک گرفت که در این مقاله از روش تصنیف استفاده شده است. مزیتی که می‌توان برای الگوریتم پیشنهادی نام برد، این است که عمل موقعیت‌پایی در این الگوریتم بهصورت تضمینی و با پیچیدگی محاسباتی بهنسبه پایینی صورت می‌گیرد. اگر کل فضای مورد جستجو برای یافتن تخمین فاصله به M قسمت تقسیم شده باشد، در هر بار تکرار الگوریتم پیشنهادی که بر اساس روش تصنیف بنا شده است، نیمی از کل فضای مورد جستجو کاهش می‌یابد. اگر پیچیدگی محاسباتی هر تکرار از الگوریتم واحد فرض کنیم، در این صورت پیچیدگی محاسباتی اجرای کامل الگوریتم پیشنهادی در تخمین فاصله هدف از درجه

خطای ایجادشده توسط هر تخمین‌گر بدون بایاس را مشخص می‌کند نیز ترسیم شده است. تفاوت ناچیزی بین الگوریتم‌ها در خطای ایجادشده در تخمین فاصله هدف دیده می‌شود. همچنین، مقایسه بایاس ایجادشده در تخمین فاصله دو الگوریتم به یکدیگر را نشان می‌دهد. بهمنظور مقایسه بیشتر، متوسط زمان اجرای الگوریتم‌ها در دهه‌زار بار اجرا در جدول (۲) درج شده است. همان‌گونه که ملاحظه می‌شود، هر چند تفاوت ناچیزی بین زمان اجرای الگوریتم پیشنهادی با الگوریتم [3] وجود دارد، اما در مقایسه با یک جستجوی جامع^۱ در روش ML، الگوریتم پیشنهادی زمان اجرای بسیار کمتری دارد.



(شکل-۸): مقایسه RMSE الگوریتم‌ها بر حسب SNR دریافتی
(Figure-8): RMSE comparison with respect to received SNR



(شکل-۹): مقایسه بایاس ایجادشده در تخمین فاصله هدف
(Figure-9): Comparing the estimation bias of the source range

(جدول-۲): مقایسه زمان اجرای الگوریتم‌ها بر حسب میکرو ثانیه

الگوریتم	زمان اجرا
الگوریتم پیشنهادی	۱۱
الگوریتم [3]	۱۷۵
الگوریتم ML	۴۴۰۰

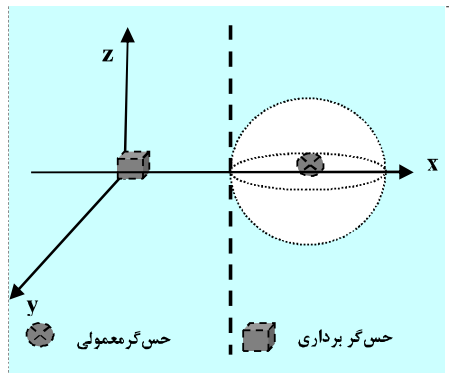
^۱ Exhaustive search

از آنجا که الگوریتم پیشنهادی می‌تواند با پوشش مناسب، تخمینی از موقعیت هدف در فضای سه‌بعدی ارایه کنند، ردیابی را می‌توان به عنوان گزینه‌ای دیگر برای کاربرد آن مطرح کرد؛ البته در صورتی که ردیابی هدف مورد نظر باشد برای داشتن دقت مناسب لازم است که نعداد حس‌گرهای مورد استفاده بیش از تعداد حس‌گرهای هندسه SVSO باشد؛ زیرا در ردیابی، علاوه بر پارامترهای مکانی هدف، بردار سرعت هدف که مشخص‌کننده راستای حرکت آن است نیز به مجهولات مسئله اضافه می‌شود. در صورت استفاده از یک شبکه غیر همگن با تعداد حس‌گرهای بیشتر، ضمن به کارگیری روش‌های مرسوم ردیابی مانند فیلتر کالمن، می‌توان از ایده پیشنهادشده در این مقاله نیز استفاده کرد. بدین ترتیب که بر اساس موقعیت فعلی هدف در فضای سه‌بعدی، می‌توان دو حس‌گر غیر همجناس که فاصله کمتری تا هدف داشته و توان بیشتری را از آن دریافت می‌کنند انتخاب و از اطلاعات آنها در ردیابی هدف استفاده کرد. این کار باعث کاهش اطلاعات روبدول شده در شبکه شده و کاهش مصرف انرژی حس‌گرهای و درنتیجه افزایش عمر شبکه را به دنبال دارد. بررسی نتایج ردیابی هدف در یک شبکه غیرهمگن می‌تواند به عنوان یک کار مجزا مورد توجه قرار گیرد.

۷- نتیجه‌گیری

حس‌گرهای معمولی می‌توانند شدت سیگنال دریافتی از هدف را بدون نیاز به سخت‌افزار خاصی اندازه‌گیری کنند. این حس‌گرها هیچ‌گونه اطلاعاتی در مورد موقعیت زاویه‌ای هدف ارایه نمی‌دهند. از طرف دیگر، حس‌گرهای برداری می‌توانند زاویه سیگنال تشعشع‌یافته از هدف را بدون وابستگی به طیف سیگنال ارسال شده و مستقل از فاصله هدف تشخیص دهند. همچنین، برخلاف جهت‌داربودن، این حس‌گرها می‌توانند شدت سیگنال دریافتی از هدف را به طور همه‌جهته اندازه‌گیری کنند؛ درنتیجه، این دو نوع حس‌گر قابلیت استفاده ترکیبی در یک شبکه توزیع شده را دارند. با استفاده از چنین شبکه‌ای می‌توان با سهولت و دقت بیشتری موقعیت اهداف را تخمین زد. در این مقاله، موقعیت‌یابی یک هدف در میدان نزدیک با استفاده از ترکیب کمیت‌های RSS و AOA در یک شبکه غیرهمگن با کمینه تعداد حس‌گر مورد بررسی قرار گرفت. الگوریتم موجود برای چنین شبکه‌ای تنها می‌تواند در شرایط خاصی یک هدف را در

$O(\log_2(M))$ خواهد بود؛ این در حالی است که اگر الگوریتم ML برای جستجوی جامع فضای مورد نظر استفاده شود، در این صورت پیچیدگی محاسباتی از درجه $O(M)$ است که در مقایسه با الگوریتم پیشنهادی بسیار بیشتر است.



(شکل-۱۰): ناحیه جواب در تعیین موقعیت سه بعدی هدف با استفاده از الگوریتم پیشنهادی

(Figure-10): The region in which our proposed algorithm has a solution for source location.

نکته دیگری که باید به آن اشاره کرد این است این الگوریتم به منظور موقعیت‌یابی یک هدف با سیگنال ارسالی نامعلوم و بر اساس استفاده از کمینه تعداد حس‌گر غیرهمگن و با هدف پوشش‌دهی بیشینه‌ای فضای سه‌بعدی بنا شده است. اگر ردیابی هدف یا تعیین موقعیت چندین هدف مورد نظر باشد، باید ملاحظاتی در این زمینه انجام شود. در مورد موقعیت‌یابی چند هدف با استفاده توأم از اطلاعات فاصله و زاویه، باید توجه داشت که صرف نظر از الگوریتم استفاده شده، برای موقعیت‌یابی بدون ابهام هر هدف دست‌کم به سه حس‌گر احتیاج است [11]؛ درنتیجه برای تعیین موقعیت چندین هدف با استفاده از هر روشی، در درجه نخست باید تعداد حس‌گرها افزایش یابد. به عنوان مثال اگر تعیین موقعیت دو هدف مورد نظر باشد، می‌توان با استفاده از یک حس‌گر برداری، موقعیت زاویه‌ای هر دو هدف را تعیین کرد [19]. علاوه بر این، توان‌های دریافت شده از دو هدف در حس‌گر برداری از یکدیگر قابل تفکیک هستند. از طرف دیگر برای تعیین فاصله اهداف، دست‌کم به دو حس‌گر معمولی احتیاج است. با داشتن موقعیت زاویه‌ای دو هدف و RSS اندازه‌گیری شده در دو حس‌گر معمولی، می‌توان مشابه با روش پیشنهادشده برای موقعیت‌یابی یک هدف، مسئله تعیین موقعیت دو هدف را با استفاده از الگوریتم تصنیف دو بعدی [20] انجام داد.

- [9] Z. M. Saric, D. D. Kukolj, and N. D. Teslic, "Acoustic source localization in wireless sensor network," *Circuits, Systems, and Signal Processing*, vol. 29, no. 5, pp.837-856, 2010.
- [10] J. Wang, J. Chen, and D. Cabric, "Cramer-Rao bounds for joint RSS/DoA-based primary-user localization in cognitive radio networks," *IEEE Transactions on Wireless Communications*, vol. 12, no. 3, pp.1363-1375, 2013.
- [11] W. Meng, L. Xie, and W. Xiao, "Optimality analysis of sensor-source geometries in heterogeneous sensor networks," *IEEE Transactions on Wireless Communication*, vol. 12, no. 4, pp. 1958-1967, 2013.
- [12] S. Tomic, M. Beko, R. Dinis, and L. Bernardo, "On target localization using combined RSS and AoA measurements," *Sensors*, vol. 18, no. 4, 2018.
- [13] S. Wang, B. R. Jackson, and R. Inkol, "Hybrid RSS/AOA emitter location estimation based on least squares and maximum likelihood criteria," in *26th Biennial Symposium on Communications (QBSC)*, 2012, pp. 24-29.
- [14] L. Gazzah, L. Najjar, and H. Besbes, "Selective hybrid RSS/AOA weighting algorithm for NLOS intra cell localization," *IEEE WCNC*, Turkey, Istanbul, 2014, pp. 2546-2551.
- [15] L. Gazzah, L. Najjar, and H. Besbes, "Hybrid RSSD/AoA cooperative localization for 4G wireless networks with uncooperative emitters," in *International Wireless Communications and Mobile Computing Conference (IWCMC)*, 2015, pp. 874-879.
- [16] V. Kavoosi, M. J. Dehghani, and R. Javidan, "Selective geometry for near-field three-dimensional localization using one-pair sensor," *IET Radar Sonar and Navigation*, vol. 10, no. 5, pp. 844-849, 2015.
- [17] X. Sheng, and Y. Hu, "Energy based acoustic source localization," In *IPSN'03: Proceedings of the 6th International Conference on Information Processing in Sensor Networks*, Springer Berlin Heidelberg, Germany, 2003, pp. 285-300.
- [18] A. Quarteroni, R. Sacco, and F. Saleri, *Numerical mathematics*, Springer Science & Business Media, vol. 37, 2010.
- [19] X. Zhong, and A. B. Premkumar, "Particle filtering approaches for multiple acoustic source detection and 2-D direction of arrival estimation using a single acoustic vector sensor," *IEEE Transactions on Signal Processing*, vol. 60, no. 9, pp. 4719-4733, 2012.
- [20] Z. Baoping, G. R. Wood, and W. P. Baritompa, "Multidimensional bisection: the performance and the context," *Journal of Global Optimization*, vol.3, no. 3, pp. 337-358, 1993

محیط سه بعدی موقعیت یابی کند. مزیت الگوریتم پیشنهادی در این مقاله این است که مستقل از وضعیت نسبی حسگرهای هدف، همواره می‌توان پاسخ یکتاپی برای موقعیت هدف به دست آورد. در اینجا، پس از تخمین زوایای هدف، یک الگوریتم جستجوی ساده مبتنی بر روش تصنیف جهت دستیابی به تخمینی برای فاصله هدف پیشنهاد شد؛ با توجه به تک بعدی بودن روش جستجوی پیشنهادی و به کارگیری روش ساده و مؤثر تصنیف، تخمین فاصله هدف با پیچیدگی و حجم محاسبات کم تضمین می‌شود.

۸- مراجع

- [1] G. Han, J. Jiang, L. Shu, Y. Xu, and F. Wang, "Localization algorithms of underwater wireless sensor networks: a survey," *Sensors*, vol. 12, no.2, pp. 2026–2061. 2012.
- [2] D. Li, and Y. H. Hu, "Energy-based collaborative source localization using acoustic microsensor array," *EURASIP Journal on Applied Signal Processing*, Vol. 2003, No. 4, pp. 321-337, 2003.
- [3] Y. I. Wu, and K. T. Wong, "Acoustic near-field source-localization by two passive anchor-nodes," *IEEE Transactions on Aerospace and Electronic Systems*, vol. 48, no. 1, 2012.
- [4] Z. X Yao, and J. Y. Hui, "Four approaches to DOA estimation based on a single vector hydrophone," *Ocean Engineering*, vol. 24, pp.122-127, 2006.
- [5] Y. I. Wu, K. T. Wong and S.-K. Lau, "The acoustic vector-sensor's near-field array-manifold," *IEEE Transactions on Signal Processing*, vol. 58, no. 7, pp. 3946-3951, July 2010.
- [6] X. Zhong and A. B. Premkumar, "Particle filtering approaches for multiple acoustic source detection and 2-D direction of arrival estimation using a single acoustic vector sensor," *IEEE Transactions on Signal Processing*, vol. 60, no. 9, pp. 4719-4733, 2012.
- [7] V. N. Hari, A. B. Premkumar, and X. Zhong, "A decoupled approach for near-field source localization using a single acoustic vector sensor," *Circuits, Systems, and signal Processing*, vol. 32, no. 2, pp 843-859, 2013.
- [8] M. Laaraiedh, "Contributions on hybrid localization techniques for heterogeneous wireless networks," Ph.D. Thesis, University of Rennes, 2010.

ولی کاووسی مدرک کارشناسی و کارشناسی ارشد خود را در رشته مهندسی

مخابرات به ترتیب در سال ۱۳۷۷ و ۱۳۸۱ از دانشگاه شیراز کسب کرد. سپس دوره



دکترای خود را در گرایش سیستم در سال ۱۳۹۵ در دانشگاه صنعتی شیراز به پایان رساند. وی هم‌اکنون استادیار دانشگاه آزاد اسلامی واحد مرودشت بوده و در زمینه پردازش سیگنال، موقعیت‌یابی و سامانه‌های

سونار پژوهش‌های خود را به پیش می‌برد.

نشانی رایانامه ایشان عبارت است از:

kavoosi@miau.ac.ir

محمد جواد دهقانی مدرک کارشناسی و



کارشناسی ارشد خود را در رشته مهندسی برق-مخابرات به ترتیب در ۱۳۶۸ و ۱۳۷۱

از دانشگاه صنعتی اصفهان و دکترای تخصصی خود را از انتستیتوی فناوری

مدرس هندستان (IITM) در سال ۱۳۸۲ در مهندسی مخابرات-سیستم دریافت نمود. وی هم‌اکنون دانشیار دانشگاه صنعتی شیراز بوده و در زمینه پردازش سیگنال، مخابرات سیار و سامانه‌های سونار تحقیقات خود را به پیش می‌برد. نشانی رایانامه ایشان عبارت است از:

dehghani@sutech.ac.ir

رضا جاویدان مدرک کارشناسی خود را



از دانشگاه اصفهان و کارشناسی ارشد خود را از دانشگاه شیراز هر دو در رشته

مهندسی کامپیوتر کسب کرد. سپس دوره دکترای خود را در گرایش هوش مصنوعی

در دانشگاه شیراز به پایان رساند. وی هم‌اکنون دانشیار دانشگاه صنعتی شیراز بوده و در زمینه شبکه‌های کامپیوتری، هوش مصنوعی، حسگرهای زیر آب و سامانه‌های سونار پژوهش‌های خود را به پیش می‌برد.

نشانی رایانامه ایشان عبارت است از:

javidan@sutech.ac.ir

فصلنامه



۴۳

سال ۱۳۹۹ شماره ۱ پیاپی

www.IJSP.IAU.AC.IR

۱۵۸